



## شیمی کانی و شرایط فیزیکی تبلور در توده‌های دیبوریتی کرتاسه پسین فیلشور و گفت، جنوب غرب سبزوار

سیده نفیسه هدایتی خرق، حبیب الله قاسمی\*، زکیه کاظمی حسنوند

گروه سنگ‌شناسی و زمین‌شناسی اقتصادی، دانشکده علوم زمین، دانشگاه صنعتی شاهروود، شاهروود

(دریافت مقاله: ۹۷/۷/۲۸، نسخه نهایی: ۹۷/۱۰/۲۹)

**چکیده:** توده‌های نفوذی دیبوریتی فیلشور و گفت به سن کرتاسه پسین در جنوب غرب سبزوار، در لبه شمالی پهنه ایران مرکزی قرار دارند. سنگ‌های این توده‌ها دارای بافت‌های پورفیری، افیتی، ساب افیتی و میان دانه‌ای در لبه‌ها و دانه‌ای در مرکز هستند و از کانی-های آمفیبول، پلازیوکلاز و کلینوپیروکسن (در ساب افیتی) به همراه کوارتز (در کوارتزدیبوریت‌ها) تشکیل شده‌اند. آمفیبول موجود در این سنگ‌ها در گروه کلسیمی و از نوع هورنبلند منیزیم‌دار است. ترکیب پلازیوکلازها از آنورتیت تا لاپرادوریت متغیر است. دماها و فشارهای بسته شدن و برقراری تعادل در آمفیبول‌ها و پلازیوکلازها بر اساس روش‌های مختلف دما- فشارسنجی بین ۹۱۸ تا ۷۶۳ درجه سانتی‌گراد و ۳ تا ۵/۵ کیلوبار (برابر با فشار عمق‌های ۱۰-۱۸ کیلومتری) به دست آمده است. پیروکسن‌ها در گستره وابسته به پیروکسن‌های کلسیمی، منیزیم و آهن‌دار با ترکیب اوژیتی قرار دارند و از یک ماقمای اولیه در محیطی با گریزندگی اکسیژن بالا در فشارهای ۲-۵ کیلوبار بار در دماهای ۱۱۵۰-۱۰۰۰ درجه سانتی‌گراد متبلور شده‌اند. شیمی کانی آمفیبول و پیروکسن بیانگر سرشت نیمه‌قلایی ماقمایی و جایگاه فرافورانش کمان ماقمایی برای این توده‌های نفوذی است که با محیط جزایر کمانی درون اقیانوسی سنگ‌های ماقمایی کرتاسه پسین پهنه اقیانوسی فرافورانشی سبزوار سازگار است.

**واژه‌های کلیدی:** شیمی کانی؛ دما- فشارسنجی؛ توده‌های دیبوریتی؛ کرتاسه پسین؛ سبزوار؛ ایران.

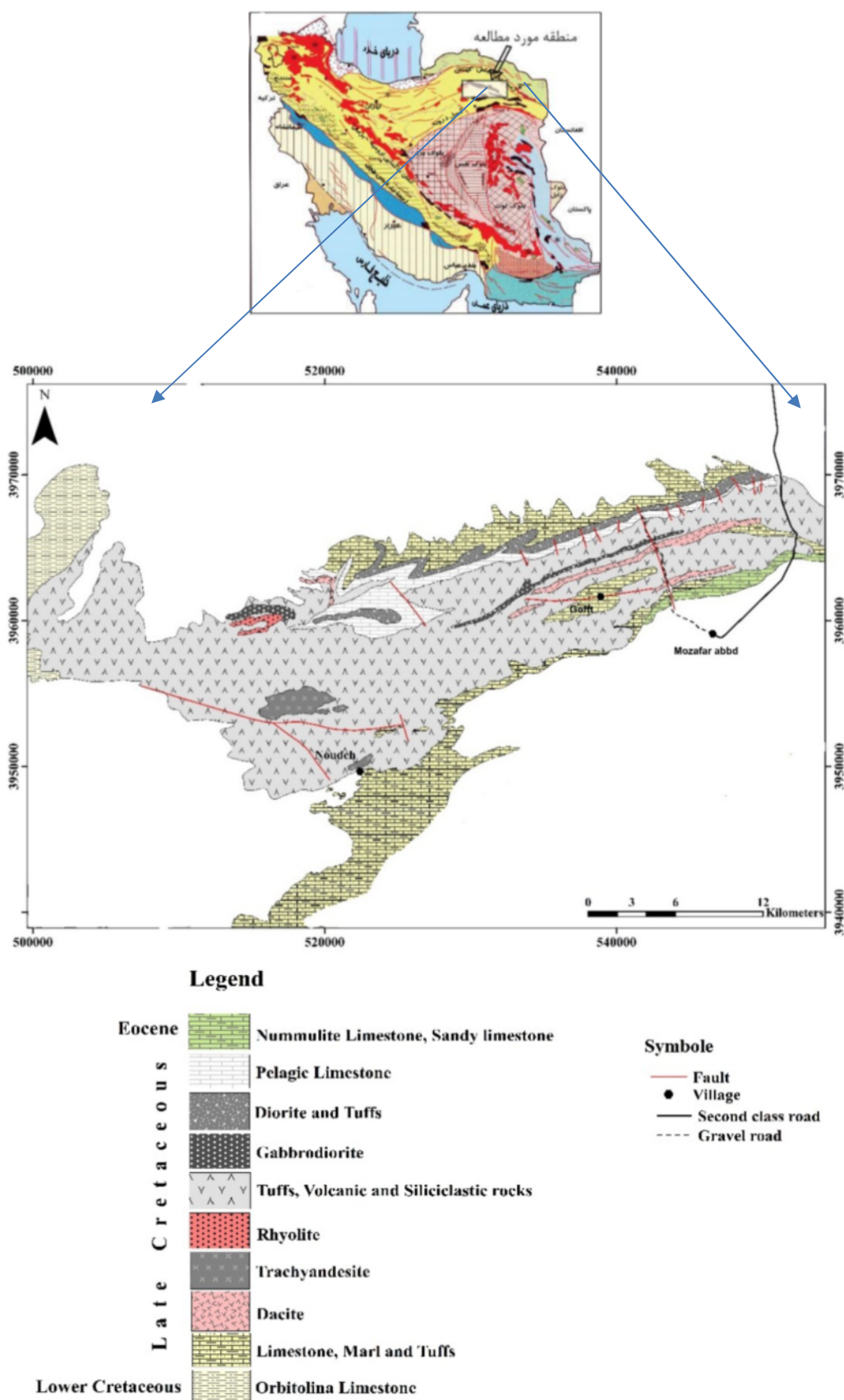
### مقدمه

شناسی صحرایی، سنگ نگاری و تجزیه‌های ریزپردازشی از کانی‌های سنگ‌ساز این توده‌های نفوذی (آمفیبول، پلازیوکلاز و پیروکسن)، درک روشنی از شرایط فیزیکی تبلور و جایگاه زمین‌ساختی آن‌ها بررسی می‌شود.

### زمین‌شناسی و سنگ‌نگاری

گسترش وسیعی از نهشته‌های آتشفسانی- رسوبی غیرافولیتی کرتاسه در جنوب غرب سبزوار دیده می‌شود. برونزدهای سنگی منطقه شامل آهک‌های ضخیم لایه و توده‌ای اربیتولین دار کرتاسه پیشین و آهک، مارن، توف، داسیت، ریولیت، تراکی- آندزیت و آهک پلازیک گلوبوترونکانادر کرتاسه پسین است که

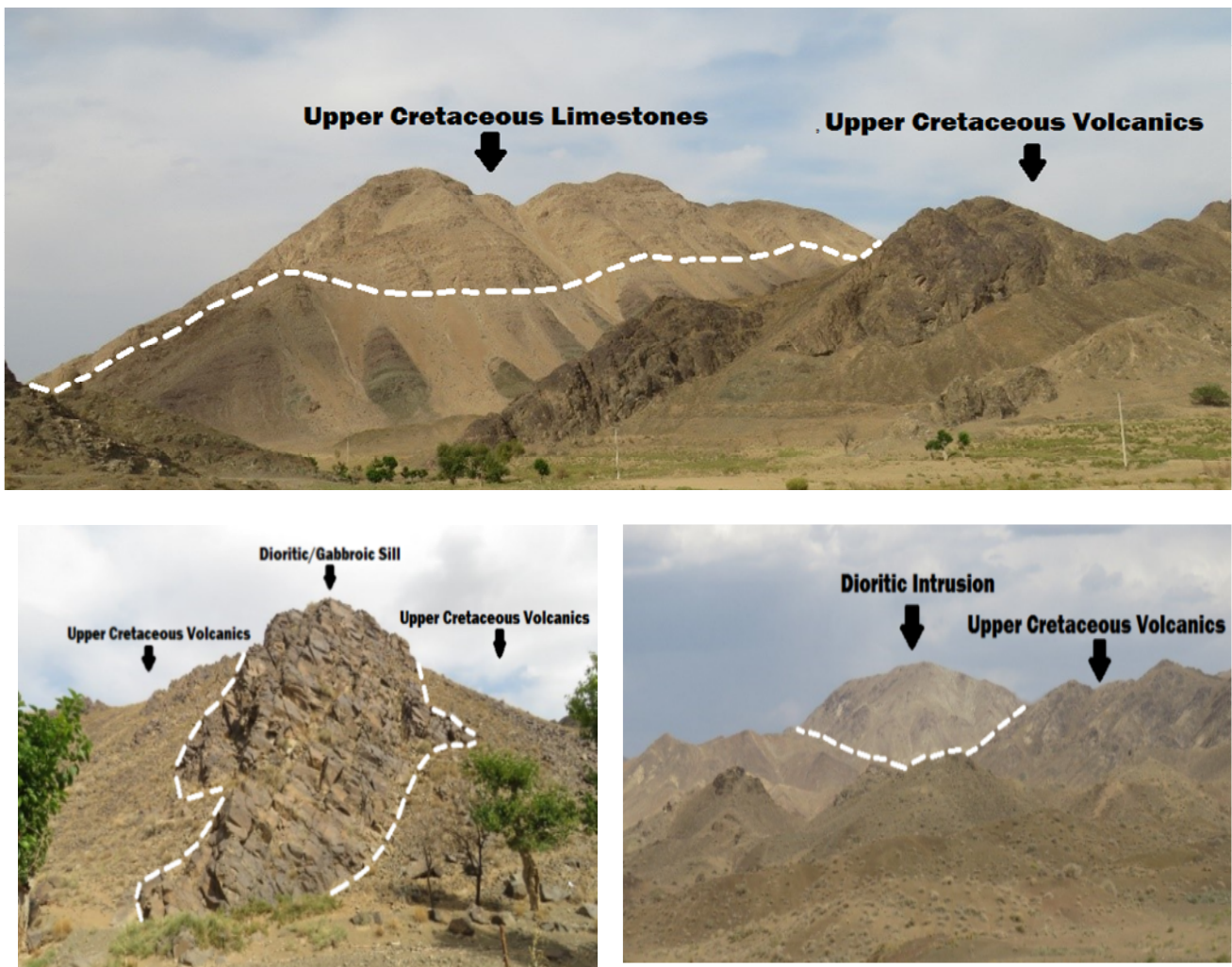
مناطق فیلشور و گفت در جنوب غرب سبزوار در گستردگی با طول‌های جغرافیایی  $57^{\circ}$  تا  $40^{\circ}$  و  $57^{\circ}$  شرقی و عرض‌های جغرافیایی  $35^{\circ}$  تا  $49^{\circ}$  شمالی قرار دارند (شکل ۱). در پژوهش‌های زمین‌شناسی پیشین در این منطقه [۱۱-۱۲]، به حضور توده‌های آذرین نفوذی درون توالی سنگی کرتاسه پسین اشاره نشده است. به تازگی در پژوهش‌های زمین‌شناسی اقتصادی در منطقه [۱۹-۲۰]، به وجود این توده‌ها پی برده شد و بر ضرورت بررسی سنگ‌شناسی آن‌ها تأکید گردید. سپس هدایتی خرق و کاظمی [۲۱، ۲۰] سنگ‌شناسی این توده‌ها را به دقت بررسی کردند که در اینجا بخشی از یافته‌های آنها ارائه شده و با تکیه بر نتایج به دست آمده از برداشت‌های زمین-



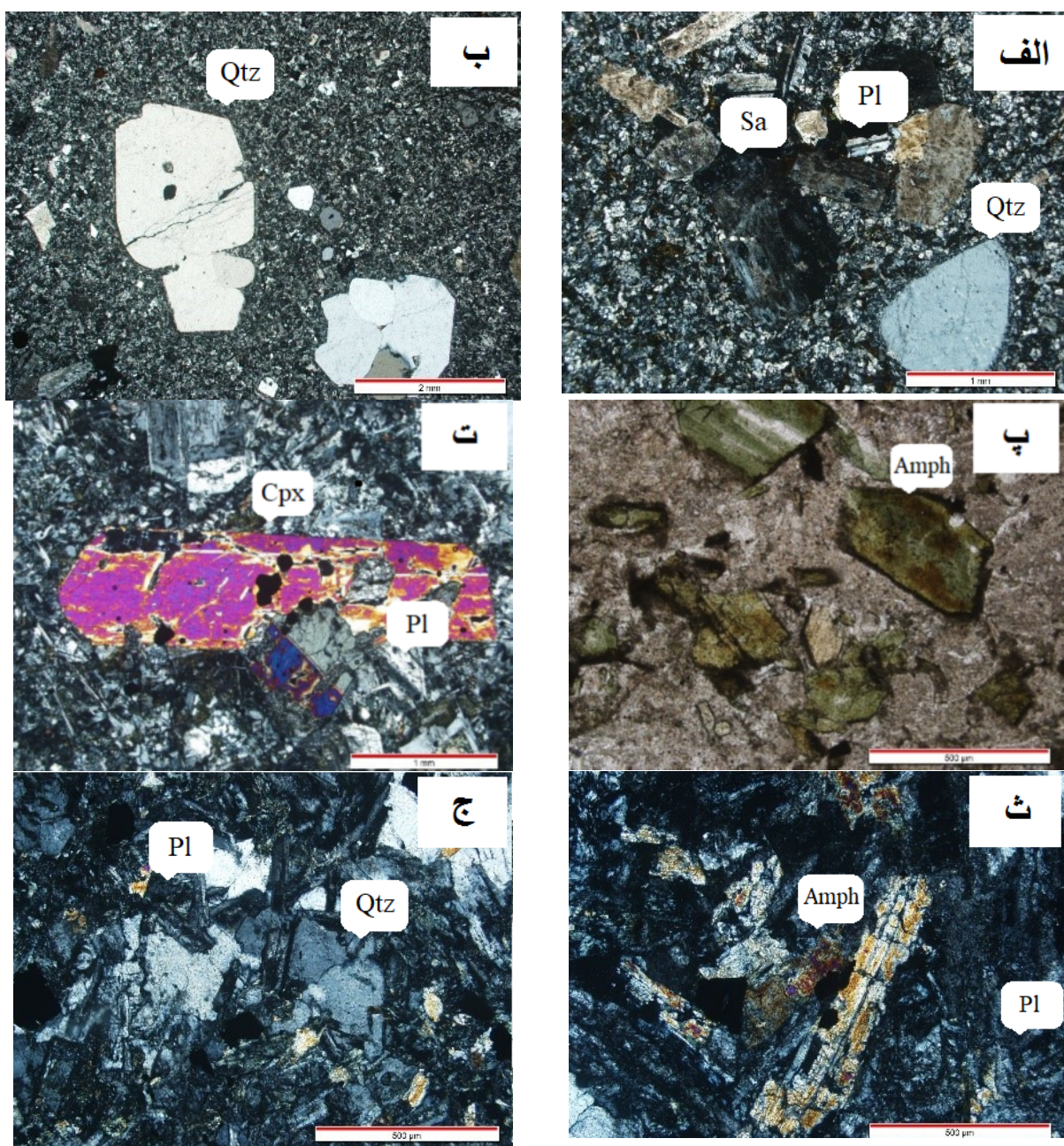
شکل ۱ نقشه ساده زمین‌شناسی از توالی آتشفسانی-رسوبی کرتاسه جنوب‌غرب سبزوار [۲۰].

آمفیبیول و به مقدار کمتر کلینوپیروکسن و با بافت‌های پورفیری افیتی، ساب افیتی و میان‌دانه‌ای در لبه‌ها (شکل‌های ۳ پ، ت) و دانه‌ای (شکل‌های ۳ ث و ج) در مرکز از گسترش خوبی در منطقه برخوردارند و درجه‌های متفاوتی از دگرسانی را نشان می‌دهند. نمونه‌های کمی تیره‌تر گابرو‌دیوریتی، بیشتر دارای پلازیوکلاز و پیروکسن (شکل ۳ ت) هستند و در نمونه‌های جدایش یافته‌تر و روشن‌تر (کوارتزدیوریت‌ها)، کوارتز دیده می‌شود (شکل ۳ ج). این سنگ‌ها در نمودارهای رده‌بندی زمین‌شیمیایی در گستره گابرو‌دیوریت و سری ماجمایی آهکی قلیایی قرار می‌گیرند [۲۲-۲۰].

توده‌های دیوریتی به سن کرتاسه پسین به درون آن‌ها نفوذ کرده‌اند (شکل‌های ۱ و ۲). این توده‌ها با سنگ‌های آتشفسانی و آذرآواری میزبان خود تقریباً همسن بوده [۲۲-۲۰] و در حقیقت، معادل نیمه عمیق آن‌ها هستند. سنگ‌های آتشفسانی و آذرآواری میزبان به طور عمده شامل داسیت با بافت گلومروپورفیری (شکل ۳ الف) و ریولیت با بافت پورفیری (شکل ۳ ب) به همراه آذرآواری‌های وابسته (انواع توف، برش و آگلومرا) هستند. توده‌ها دارای ترکیب غالب دیوریتی هستند و به شکل دایک، استوک‌های کوچک و سیل در واحدهای آتشفسانی-رسوبی کرتاسه پسین دیده می‌شوند (شکل‌های ۲ ب و پ). دیوریت‌ها با حضور درشت‌بلورهای پلازیوکلاز،



شکل ۲ تصاویری از برونزدهای صحرایی سنگ‌های کرتاسه پسین در جنوب غرب سیزوار (الف) واحدهای آتشفسانی و آهک پلازیک روی آن‌ها، دید به سمت شمال شرق، ب) یک توده دیوریتی در واحدهای آتشفسانی، دید به سمت جنوب شرق و پ) تصویری از یک سیل دیوریت/گابرویی در داخل واحد آتشفسانی، دید به سمت شرق.



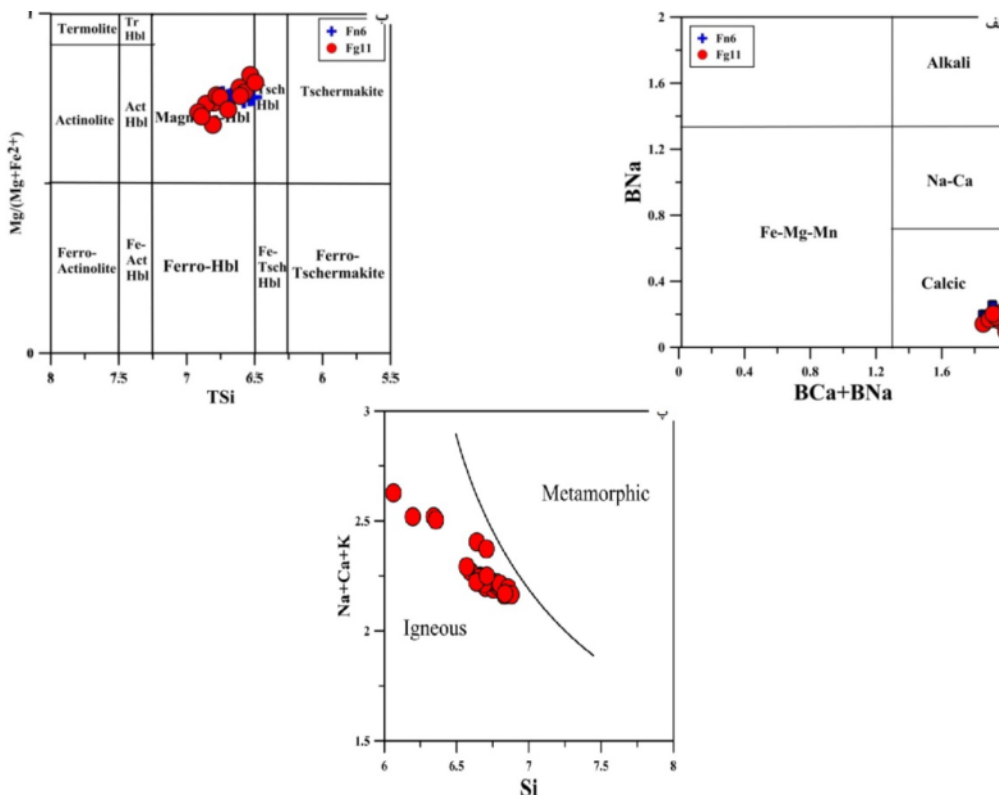
شکل ۳ تصاویر میکروسکوپی از سنگ‌های آذرین کرتاسه پسین جنوب غرب سبزوار: (الف) داسیت با بافت گلومروپورفیری که میزبان توده‌های دیوریتی است (نور XPL)، (ب) ریولیت با بافت پورفیری که میزبان توده‌های دیوریتی است (نور XPL)، (پ) دیوریت با بافت پورفیری شامل آمفیبول‌های درشت (نور PPL)، (ت) گالبرودیوریت با بافت پورفیری شامل درشت بلور کلینوپیروکسن دربردارنده میانبار پلاژیوکلاز و کانی تیره (نور XPL)، (ث) دیوریت با بافت دانه‌ای شامل از آمفیبول‌ها و پلاژیوکلازهای درشت (نور XPL) و (ج) کوارتز در کوارتزدیوریت‌ها (نور XPL).

سیدنی استرالیا تجزیه شدند. این تجزیه‌ها شامل ۷۸ نقطه از بلورهای پیروکسن، ۳۹ نقطه از بلورهای آمفیبول و ۱۱۹ نقطه از بلورهای پلاژیوکلاز بود که به وسیله‌ی دستگاه ریزپردازهای الکترونی مدل JEOL، JXA-8300F با ولتاژ ۲۰ kV و جریان ۲۰ nA انجام شد.

#### روش پژوهش

پس از بررسی‌های دقیق سنگنگاری، به منظور بررسی شیمی کانی این سنگ‌ها، ۶ مقطع نازک- صیقلی از آن‌ها تهیه شد و کانی‌های اصلی سنگ‌ساز پلاژیوکلاز، پیروکسن و آمفیبول آن‌ها در آزمایشگاه ریزپردازش دانشگاه نیوساوت ولز

بهنجار می‌شود، برای هورنبلندهای اشباع از Ca مناسب است [۲۵]. مقدار سدیم در جایگاه B (BNa) کمتر از ۰,۵٪ تا ۰,۱۴٪ و مقدار کلسیم در جایگاه B (BCa) بیش از ۱,۵٪ (۰,۷۲٪ تا ۰,۲٪). مجموع کاتیون‌های سدیم و کلسیم (BCa+Na) مقداری بین ۱,۸۷٪ تا ۲٪ دارد. بر این اساس، آمفیبول‌های نمونه‌های سنگی دیوریتی کرتاسه پسین جنوب غرب سبزوار در گستره کلسیمی واقع شده‌اند (شکل ۴ الف). ترکیب شیمیایی آمفیبول‌ها از گستره مگنتیوهومنبلند تا هورنبلندرامکیتی تغییر می‌کند (شکل ۴ ب). به باور چپل و وايت [۲۶] حضور آمفیبول‌های کلسیمی در سنگ‌های گرانیتوئیدی نشان دهنده وابستگی این سنگ‌ها به گرانیتوئیدهای نوع I است. آمفیبول‌های آذرین و دگرگونی براساس مجموع کاتیون‌های آمفیبول‌های موجود در نمونه‌های مورد بررسی در گستره آمفیبول‌های ماقمایی قرار می‌گیرند (شکل ۴ ب). آنها همچنین بر اساس شکل ۵ الف در گستره آمفیبول‌های وابسته به منطقه فرافورانش [۲۷] و با سرشت نیمه قلیایی (شکل ۵ ب) قرار می‌گیرند.



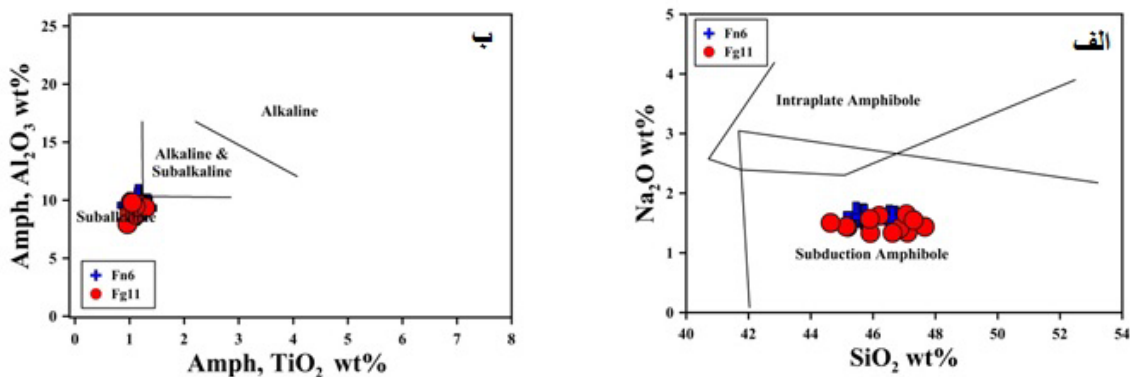
شکل ۴ جایگاه آمفیبول‌های موجود در سنگ‌های دیوریتی کرتاسه پسین جنوب غرب سبزوار در (الف و ب) نمودارهای رده‌بندی و نامگذاری ترکیب شیمیایی آمفیبول‌ها [۲۵] و (پ) نمودار تفکیک آمفیبول‌های ماقمایی از دگرگونی [۲۷].

## شیمی کانی‌ها شیمی آمفیبول

آمفیبول‌ها، قابل استفاده‌ترین کانی‌ها در دما- فشارسنگی سنگ‌های دگرگونی و آذرین آهکی قلیایی هستند، زیرا تقریباً در همه توده‌های نفوذی آهکی قلیایی و در گستره‌ی وسیعی از دماها (۱۱۵۰ تا ۴۰۰ درجه سانتی‌گراد) و فشارها (۱۰ تا ۲۳ کیلوبار) پایدارند. متداول‌ترین آمفیبول در سنگ‌های آذرین شامل آمفیبول‌های کلسیمی آلومینیوم‌دار بهویژه هورنبلند است [۲۴]. مقدار Na، Ca، Ti، Al، و Mg می‌توان برای تعیین گریزندگی اکسیژن، ترکیب، خاستگاه و محیط زمین‌ساختی تشکیل مagma استفاده کرد. نتایج برآمده از تجزیه نقطه‌ای آمفیبول در سنگ‌های توده‌های دیوریتی کرتاسه پسین جنوب غرب سبزوار در جدول ۱ آمده است. برای نامگذاری آمفیبول‌ها از رده بندی مرجع [۲۵] استفاده شده است. برای محاسبه دوباره فرمول بر پایه روش Avg.15-NK,13-CNК Fe<sup>3+</sup> برآورد شد، این روش Fe<sup>3+</sup> که در آن فرمول کانی بر اساس بیشترین و کمترین

جدول ۱ میانگین نتایج تجزیه نقطه‌ای کلینوپیروکسن و آمفیبول در نمونه‌های گرانیتوئیدی کرتاسه پسین جنوب غرب سبزوار (هر نمونه میانگین ۴ نقطه است).

نمونه	آمفیبول			کلینوپیروکسن			
	Fg11	Fn6	Sample	Fn13	Fn11	Fn16	Fn19
SiO <sub>2</sub>	۴۵,۹۲	۴۶,۲۳	SiO <sub>2</sub>	۵۱,۵۲	۵۲,۲۷	۵۱,۵۶	۵۱,۸۸
TiO <sub>2</sub>	۱,۳۳	۱,۱۳	TiO <sub>2</sub>	۰,۳۸	۰,۳۴	۰,۴۱	۰,۳۷
Al <sub>2</sub> O <sub>3</sub>			Al <sub>2</sub> O <sub>3</sub>				
FeO*	۹,۷۵	۹,۶۳	FeO*	۲,۰۴	۲,۱۳	۱,۷۷	۲,۱۴
MnO	۱۳,۹۸	۱۵,۴۳	MnO	۱۱,۳۸	۱۰,۳۴	۱۲,۰۷	۱۲,۵۵
MgO			MgO				
CaO	۰,۵۴	۰,۶۵	CaO	۰,۳۳	۰,۲۹	۰,۵۳	۰,۴
Na <sub>2</sub> O	۱۳,۶۷	۱۳,۱۴	Na <sub>2</sub> O	۱۵,۳۷	۱۵,۱۴	۱۳,۷۹	۱۴,۱۶
K <sub>2</sub> O			K <sub>2</sub> O				
مجموع	۱۱,۴۱	۱۱,۲۲	Cr <sub>2</sub> O <sub>3</sub>	۱۹,۴۶	۱۹,۶۳	۱۹,۴۱	۱۹,۳۶
Al کل	۱,۵۶	۱,۵۷	مجموع جایگاه	۰,۲۱	۰,۲۳	۰,۲۱	۰,۲۰
<u>T جایگاه های</u>	۰,۲۲	۰,۲۱	های	۰,۰۰	۰,۰۰	۰,۰۰	۰,۰۰
Si	۹۷,۸	۹۹,۲۸	T	۰,۰۱	۰,۰۰	۰,۰۰	۰,۰۰
Al <sup>iv</sup>	۱,۶۵	۱,۶۲	Si	۱۰,۱۷	۱۰,۰۴۸	۱۰,۰۵۱	۱۰,۱۰۸
<u>Mجاگاه 1,2,3</u>			Al <sup>iv</sup>				
های	۶,۶۱	۶,۶۰	Fe(iii)				
Al <sup>vi</sup>	۱,۳۸	۱,۴۰	T کل	۱,۹۲	۱,۹۳	۱,۹۲	۱,۹۲
Ti			جایگاه های	۰,۰۸	۰,۰۷	۰,۰۷	۰,۰۷
Fe <sup>3+</sup>			M1	۰,۰۰	۰,۰۰	۰,۰۰	۰,۰۰
Mg	۰,۲۷	۰,۲۲	Al <sup>vi</sup>	۲	۲	۲,۰۰	۲,۰۰
Mn	۰,۱۱	۰,۱۲	Fe <sup>3+</sup>				
Fe <sup>2+</sup>			Cr				
Ca	۰,۷۲	۰,۸۵	Ti	۰,۰۱	۰,۰۲	۰,۰۲	۰,۰۱
<u>M4جاگاه</u>	۲,۹۲	۲,۸۱	Mg	۰,۰۶	۰,۰۵	۰,۰۵	۰,۰۵
Fe	۰,۶	۰,۸	Fe <sup>2+</sup>				
Ca	۰,۷۲	۰,۹	Mn	۰,۰۰	۰,۰۰	۰,۰۰	۰,۰۰
Na			M1 کل	۰,۰۱	۰,۰۱	۰,۰۱	۰,۰۱
A site	۰,۰۰	۰,۰۰	جایگاه	۰,۰۱	۰,۰۲	۰,۰۱	۰,۰۱
Ca			M2	۰,۰۵	۰,۰۳	۰,۰۴	۰,۰۴
Na			Mg	۰,۰۵	۰,۰۳	۰,۰۴	۰,۰۴
K	۰,۰۷۵	۰,۰۸	Fe(ii)	۰,۰۱	۰,۰۱	۰,۰۱	۰,۰۱
مجموع کاتیون ها	۱,۷۶	۱,۷۲	Mn	۰,۱۵	۰,۱۳	۰,۱۵	۰,۱۶
Fe#	۰,۱۶	۰,۲۰	Ca				
Mg/Fe <sup>2+</sup>			Na				
Mg/Fe			K	۰,۸۳	۰,۸۱	۰,۷۶	۰,۷۶
XMg	۰,۰۰	۰,۰۰	M2-کل	۰,۲۴	۰,۲۶	۰,۲۹	۰,۲۴
	۰,۲۷	۰,۲۳	اوژیت	۰,۰۰	۰,۰۰	۰,۰۰	۰,۰۰
	۰,۰۴	۰,۰۴	Wo	۰,۷۶	۰,۷۸	۰,۷۷	۰,۷۵
	۱۵,۲۴	۱۵,۲۷	En	۰,۰۱	۰,۰۲	۰,۰۱	۰,۰۱
	۰,۳۶	۰,۳۹	Fs	۰,۰۰	۰,۰۰	۰,۰۰	۰,۰۰
	۲,۱۳	۲,۸۵	Ac	۱,۸۴	۱,۸۶	۱,۸۴	۱,۶۳
	۱,۷۵	۱,۰۵		۹۸,۱۹	۹۸,۰۳	۹۸,۰۱	۹۸,۱۴
	۰,۵۹	۰,۵۷		۳۸,۶۵	۳۹,۶۸	۳۹,۱۳	۳۹,۰۸
				۴۲,۴۹	۴۲,۵۸	۴۸,۶۸	۴۹,۷۷
				۱۸,۱۹	۱۶,۹۲	۲۱,۴۱	۲۰,۴۰
				۰,۷۱	۰,۸۱	۰,۷۷	۰,۷۳



شکل ۵ جایگاه آمفیبول‌های موجود در سنگ‌های دیوریتی کرتاسه پسین جنوب غرب سبزوار در (الف) نمودار  $\text{Na}_2\text{O}$  نسبت به  $\text{SiO}_2$  و (ب) نمودار ارزیابی ماهیت ماقمای سازنده این سنگ‌ها با استفاده از ترکیب شیمیایی آمفیبول [۲۸] و [۲۹].

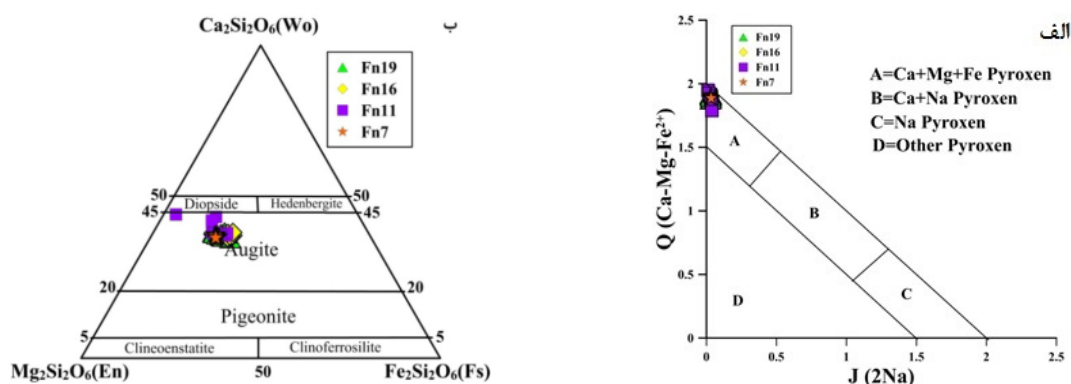
از خط  $\text{Fe}^{3+}$  اشاره کرده و یادآور شدند که هر چه فاصله‌ی نمونه‌ها از این خط بیشتر باشد، مقدار گریزندگی اکسیژن در محیط تشکیل آن‌ها بیشتر بوده است. با توجه به اینکه مجموع کاتیون‌های جایگاه چاروچهی در فرمول ساختاری کلینوپیروکسن برابر با ۲ است، در نمودار مقدار  $\text{Al}$  نسبت به  $\text{Si}$  موجود در کلینوپیروکسن (شکل ۷ ب)، همه نمونه‌ها در بالای خط  $2 = \text{Si} + \text{Al}$  قرار می‌گیرند. بنابراین در کلینوپیروکسن‌ها، جایگاه‌های چاروچهی با کاتیون‌های  $\text{Si}$  و بخشی از کاتیون‌های  $\text{Al}^{\text{IV}}$  ( $\text{Al}^{\text{IV}}$ ) اشغال شده و بقیه‌ی کاتیون‌های  $\text{Al}$  اضافی ( $\text{Al}^{\text{VI}}$ ) در جایگاه هشت وجهی وارد شده‌اند. قرارگیری نمونه‌ها در زیر این خط نشان می‌دهد که نه تنها همه‌ی کاتیون‌های  $\text{Si}$  و  $\text{Al}$  وارد جایگاه هشت وجهی شده‌اند، بلکه به دلیل پر نشدن این جایگاه، کاتیون‌های سه ظرفیتی دیگر چون  $\text{Ti}$ ،  $\text{Cr}$  و  $\text{Fe}^{3+}$  نیز وارد آن شده‌اند. به عبارت دیگر، چنین پیروکسنی دارای آلومینیوم هشت وجهی ( $\text{Al}^{\text{VI}}$ ) نیست.

#### شیمی پلازیوکلاز

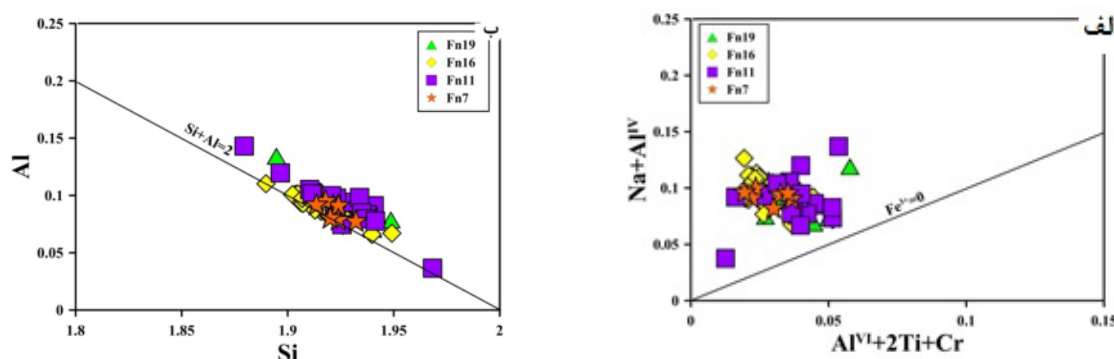
فرمول ساختاری پلازیوکلازها به ازای ۸ اتم اکسیژن محاسبه شده است. نتایج برآمده از تجزیه نقطه‌ای این کانی در سنگ‌های دیوریتی-گابرو‌دیوریتی کرتاسه پسین جنوب غرب سبزوار در جدول ۲ آمده است. در شکل ۸، ترکیب پلازیوکلازها در نمودار مثلثی Ab-An-Or [۳۳] آورده شده است. چنان که دیده می‌شود، پلازیوکلازها به رأس آنورتیت نزدیک‌تر بوده و در گستردگی آنورتیت تا لابرادوریت واقع می‌شوند.

#### شیمی کلینوپیروکسن

پیروکسن‌ها یکی از مهم‌ترین کانی‌های موجود در سنگ‌های آذرین هستند و بررسی ترکیب شیمیایی آن‌ها اطلاعات بسیار مهمی درباره خاستگاه ماقما و شرایط فیزیکوشیمیایی آن (دما، فشار و گریزندگی اکسیژن) به دست می‌دهد. یکی از کانی‌های سنگ‌ساز اصلی توده‌های دیوریتی و به ویژه گابرو‌دیوریتی منطقه پیروکسن است که پس از پلازیوکلاز، فراوانترین کانی سنگ به حساب می‌آید. نتایج برآمده از تجزیه نقطه‌ای این کانی در نمونه‌های سنگی دیوریتی-گابرو‌دیوریتی کرتاسه پسین جنوب غرب سبزوار در جدول ۱ آمده است. پیروکسن‌ها موجود در این سنگ‌ها از نوع کلینوپیروکسن هستند. این پیروکسن‌ها در نمودار  $\text{J}-\text{Q}$ - $\text{R}$  ردیبندی پیروکسن‌ها [۳۰] در گستره‌ی پیروکسن‌های کلسیم، منیزیم و آهن‌دار و فقیر از سدیم قرار می‌گیرند (شکل ۶ الف). همچنین در نمودار مثلثی  $\text{Wo-En-Fs}$ ، نمونه‌های مورد بررسی در گستره اوزیت قرار گرفته‌اند (شکل ۶ ب) [۳۰]. ترکیب پیروکسن‌ها در سنگ‌های منطقه در حد  $\text{Wo}_{39.42} \text{En}_{42.68} \text{Fs}_{17.50}$  با عدد منیزیم  $(\text{Mg}/(\text{Mg}+\text{Fe}))$  حدود ۷۸-۷۱ است. مقدار  $\text{Fe}^{3+}$  در پیروکسن‌ها بستگی به مقدار اکسیژن محیط تشکیل آن‌ها دارد و براساس نمودار تغییرات  $\text{Al}^{\text{IV}}+\text{Na}$  نسبت به  $\text{Al}^{\text{VI}}+2\text{Ti}+\text{Cr}$  قبل ارزیابی است [۳۱]. چنانکه در شکل ۷ الف دیده می‌شود، نمونه‌ها در گستره‌ی بالای خط  $\text{Fe}^{3+}=0$  قرار می‌گیرند که نشانه‌ی بالا بودن گریزندگی اکسیژن در محیط تشکیل آن‌هاست. با این حال، کمرون و همکارش [۳۲] به فاصله نمونه‌ها



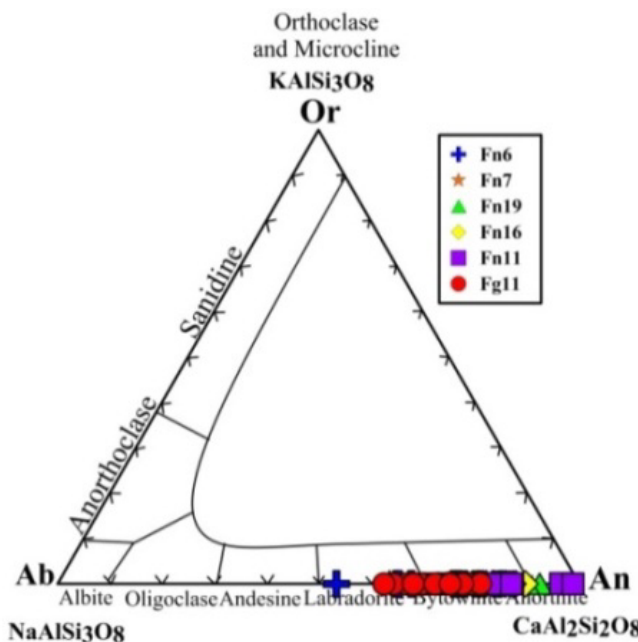
شکل ۶ جایگاه کلینوپیروکسن‌های سنگ‌های دیوریتی کرتاسه پسین جنوب غرب سبزوار در (الف) نمودار  $Q - J$  [۳۰] و (ب) نمودار مثلثی [۳۰] Wo-En-Fs.



شکل ۷ جایگاه کلینوپیروکسن‌های سنگ‌های دیوریتی کرتاسه پسین جنوب غرب سبزوار در (الف) نمودار تعیین گریزندگی اکسیژن در محیط تبلور پیروکسن‌ها [۳۱] و (ب) نمودار تعیین میزان اشباعی در جایگاه چاروجهی کلینوپیروکسن‌ها [۳۱].

جدول ۲ نتایج تجزیه نقطه‌ای پلازیوکلаз در نمونه‌های گرانیتوئیدی جنوب غرب سبزوار (هر نمونه میانگین ۴ نقطه است).

نمونه	Fn11	Fn16	Fn13	Fn6	Fn19	Fg11
SiO <sub>2</sub>	47.50	48.10	48.79	51.10	48.16	48.62
TiO <sub>2</sub>	0.01	0.03	0.03	0.02	0.01	0.00
Al <sub>2</sub> O <sub>3</sub>	32.83	32.44	32.71	31.34	32.70	31.93
FeO <sup>+</sup>	0.89	0.88	0.94	0.25	0.88	0.27
MnO	0.005	0.007	0.01	0.01	0.005	0.00
MgO	0.007	0.09	0.09	0.02	0.10	0.00
CaO	16.63	16.41	17.05	14.09	16.59	15.26
Na <sub>2</sub> O	0.00	0.00	0.00	0.00	0.00	0.00
K <sub>2</sub> O	0.00	0.00	0.00	0.00	0.00	0.00
مجموع	100.00	100.00	100.00	100.00	100.00	100.00
Si	1.58	2.26	2.09	0.07	2.18	3.00
Ti	0.05	0.04	0.04	0.07	0.04	0.06
Al	95.79	100.29	101.68	101.19	100.58	99.15
Fe	2.21	2.20	2.21	2.22	2.20	2.24
Mn	0.00	0.00	0.00	0.00	0.00	0.00
Mg	0.00	0.00	0.00	0.00	0.00	0.00
Ca	0.00	0.00	0.00	0.00	0.00	0.00
Na	0.00	0.00	0.00	0.00	0.00	0.00
K	0.00	0.00	0.00	0.00	0.00	0.00
مجموع کاتیون ها	100.00	100.00	100.00	100.00	100.00	100.00
Ab	0.00	0.00	0.00	0.00	0.00	0.00
An	0.00	0.00	0.02	0.00	0.02	0.00
Or	0.80	0.80	0.83	0.63	0.81	0.75
0.20	0.20	0.18	0.32	0.18	0.26	0.26
0.00	0.00	0.00	0.00	0.00	0.00	0.00
5.0	5.0	5.0	5.0	5.0	5.0	5.0
14.79	20.64	18.09	32.04	19.12	16.70	16.70
84.40	79.09	81.65	67.54	80.63	74.25	74.25
0.005	0.00	0.00	0.00	0.00	0.00	0.00



شکل ۸ جایگاه پلاژیوکلازهای سنگ‌های دیوریتی کرتاسه پسین جنوب‌غرب سبزوار در نمودار سه‌تایی رده‌بندی فلدسپارها [۳۳].

کوارتز، فلدسپار قلیایی، پلاژیوکلاز، بیوتیت، آمفیبول، اکسیدهای آهن-تیتانیم و اسفن (تیتانیت) در سنگ است. عوامل مؤثر دیگر شامل فشار، دما، گریزندگی اکسیژن و ترکیب سنگ کل هستند که همه در مقدار Al موجود در آمفیبول نقش دارند. بنابراین، ترکیب آمفیبول نشانگر فشار یا عمق تبلور و انجماد ماغما است. در همه روشهای برآورد فشار به جز روش مرجع [۳۷]، فشار فقط براساس مقدار Al موجود در آمفیبول و بدون توجه به عوامل دیگری چون دما محاسبه می‌شود. با استفاده از نمودار  $Al_{tot}/(Fe^* + Mg)$  نسبت به  $[38]$  می‌توان گفت که آمفیبول‌های توده‌های دیوریتی کرتاسه پسین جنوب‌غرب سبزوار در گستره‌ی فشارهای ۳ تا ۵,۵ کیلوبار (عمر تقریبی ۱۰ تا ۱۸ کیلومتر) متبلور شده‌اند (شکل ۹). همچنین در نمودار  $Al_{tot}/Ti$  نسبت به  $[39]$ ، آمفیبول‌ها در گستره فشار متوسط جای گرفته‌اند و این موضوع تأیید می‌شود (شکل ۹ ب).

#### زمین دماسنجی (هورنبلنده-پلاژیوکلاز) روش هولاند و بلوندی [۲۳]

مهم‌ترین و شاید پرکاربردترین روش تعیین دمای توده‌های نفوذی حداسته، روش زمین دماسنجی آمفیبول-پلاژیوکلاز با سه رابطه‌ی متفاوت است. این روش، یکی از روش‌های متدالول

زمین دما-فسارسنجدی با استفاده از زوج آمفیبول-پلاژیوکلاز آمفیبول یکی از فراوانترین کانی‌های تیره در توده‌های دیوریتی-گابرو دیوریتی کرتاسه پسین جنوب‌غرب سبزوار است. این امر نشان می‌دهد که ماقمای در حال تبلور این توده‌ها سرشار از سازنده آب بوده است. آمفیبول بهترین کانی برای دما-فسارسنجدی سنگ‌های آذرین آهکی-قلیایی است، زیرا تقریباً در همه توده‌های نفوذی آهکی-قلیایی، بدون توجه به ترکیب‌های بازی-حدواسط یا اسیدی، متبلور می‌شود [۳۴].

#### زمین فشارسنجدی

آمفیبول‌های توده‌های آذرین نفوذی به طور گستره‌ای برای برآورد فشار و عمق جایگزینی این توده‌ها استفاده شده‌اند [۳۵، ۳۶]. روش‌های فشارسنجدی بر اساس آمفیبول، بر اندازه‌گیری مقدار Al موجود در آمفیبول استوار هستند، زیرا مقدار Al در ارتباط مستقیم با فشار یا عمق جایگزینی توده‌هاست. هرچه مقدار Al موجود در آمفیبول‌ها بیشتر باشد، عمق محاسبه شده بیشتر خواهد بود؛ ولی مقدار Al موجود در آمفیبول‌ها با شرایط محیط و مجموعه‌ای از عوامل تغییر کرده و در نتیجه باعث خطا در فشار محاسبه شده می‌شود. بنابراین، آمفیبول‌ها باید دارای ویژگی‌هایی باشند تا تعیین فشار توسط آن‌ها به طور واقعی انجام شود [۳۶، ۳۵]. نخستین ویژگی، وجود مجموعه کانی‌های

آمفیبول،  $X_{\text{Ab}}^{\text{Plg}}$  درصد آلبیت در پلازیوکلаз است و مقدار  $Y_{\text{Ab}}$  نیز از روابط زیر به دست می‌آید:

$$X_{\text{Ab}} > 0.5, Y_{\text{Ab}} = 0, X_{\text{Ab}} < 0.5, Y_{\text{Ab}} = 8.06 + 25.5(1-X_{\text{Ab}})^2 \quad (2)$$

با استفاده از این روش، دمای تعادل و توقف تبادل آمفیبول و پلازیوکلاز در نمونه‌های دیوریتی-گابرودیوریتی کرتاسه پسین جنوب‌غرب سبزوار از ۷۶۳ درجه‌ی سانتیگراد تا ۹۱۸ درجه‌ی سانتیگراد به دست آمده است (جدول ۳).

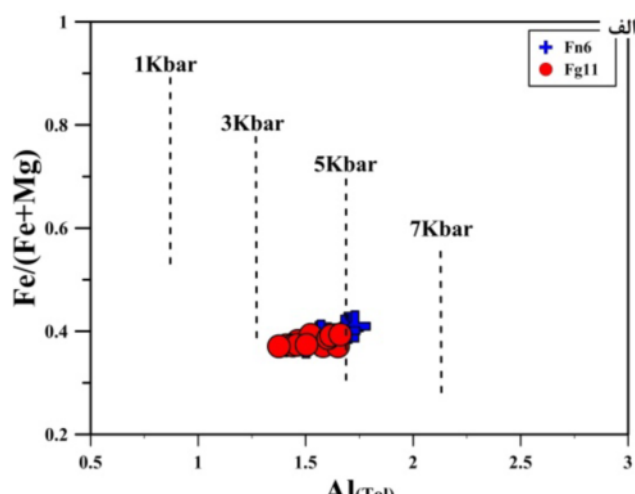
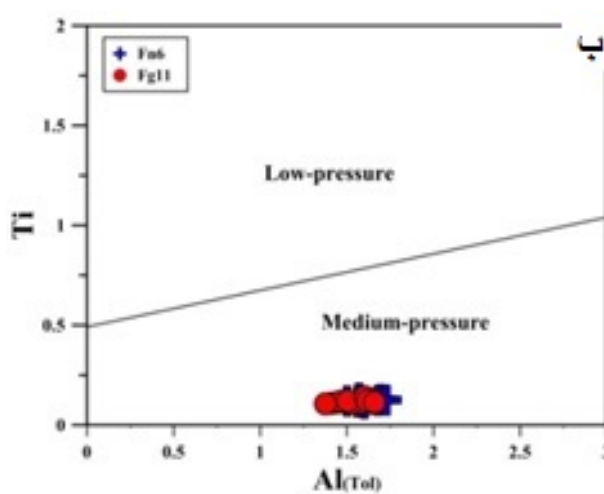
#### روش وینهال و همکاران [۲۴]

[۲۵] رابطه‌ی  $T(^{\circ}\text{C}) = 654.9 + 25.3P$  را در فشارهای -۲۰، ۱ کیلوبار و گریزندگی اکسیژن هماتیت، مگنتیت-کوارتز، فایالیت، مگنتیت (HM-QFM) برای تعیین دمای تعادل آمفیبول همزیست با پلازیوکلاز ارائه کردند. بر اساس این رابطه، میانگین دمای تعادل و توقف تبادل در توده‌های دیوریتی-گابرودیوریتی کرتاسه پسین جنوب‌غرب سبزوار درجه‌ی سانتیگراد به دست آمد، که تا حدی به نتایج دماسنجدی به روش هولاند و بلوندی نزدیک است (جدول ۳).

برای دماسنجدی سنگ‌های آهکی-قلیابی محسوب می‌شود. هولاند و بلوندی [۲۳] روشی را برای دماسنجدی بر اساس واکنش ادنیت-ترمولیت با استفاده از زوج آمفیبول-پلازیوکلاز همزیست ارائه کردند. در این روش، پلازیوکلازها نباید دارای منطقه‌بندی باشند. در این پژوهش نیز تنها از پلازیوکلازهایی استفاده شد که منطقه‌بندی نداشتند و با آمفیبول‌هایی که دما-فشارسنجدی شدند، کاملاً همزیست بوده‌اند. این زمین دماسنجد برای دماهای بین ۵۰۰ تا ۱۱۰۰ درجه‌ی سانتیگراد قابل استفاده است. از آنجا که محاسبه‌ی دما در این روش زمین دماسنجدی وابسته به فشار است، لازم است تا فشار نیز محاسبه شود. فشار در همه‌ی روابط دماسنجدی با استفاده از زمین فشارسنجدی زیر [۳۸] محاسبه شد:

$$T (\pm 311 \text{ kbar}) = 0.677 P(\text{kbar}) - 48.98 + Y_{\text{Ab}}/0.0429 - 0.0083144 \ln(Si/4/8-Si)X_{\text{Ab}}^{\text{Plg}} \quad (1)$$

در این رابطه  $T$  دمای تعادل بر حسب کلوین،  $P$  فشار بر حسب کیلوبار،  $Si$  تعداد کاتیون‌های سیلیسیم در فرمول ساختاری



شکل ۹ جایگاه آمفیبول‌های سنگ‌های دیوریتی کرتاسه پسین جنوب‌غرب سبزوار در (الف) نمودار  $\text{Al}_{\text{tot}}/\text{Al}^*$  نسبت به  $\text{Fe}^*/(\text{Fe}^*+\text{Mg})$  [۲۴] و (ب) نمودار  $\text{Al}_{\text{tot}}/\text{Al}^*$  نسبت به  $\text{Ti}$  [۳۹].

جدول ۳ میانگین دمای به دست آمده از روش‌های دماسنجدی آمفیبول در توده‌های گابرودیوریتی کرتاسه پسین جنوب‌غرب سبزوار.

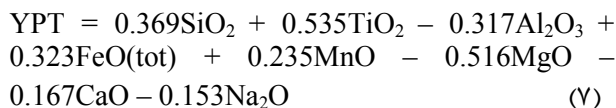
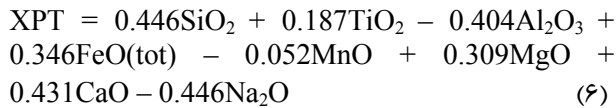
نمونه	روش الف [۲۳] $T(^{\circ}\text{C})$	روش ب [۲۴] $T(^{\circ}\text{C})$
Fn6	۹۱۸	۷۷۴
Fg11	۹۰۰	۷۶۳

کلینوپیروکسن‌های سرشار از Al نسبت به نمونه‌های فقیر از Al در فشار پائین‌تری تشکیل شده‌اند. با توجه به بالا بودن مقدار Al در کلینوپیروکسن‌های دیوریتی‌ها-گابرو‌دیوریت‌های منطقه می‌توان گفت که آن‌ها در فشارهای پائین تشکیل شده‌اند. مقدار Al در کلینوپیروکسن‌های فشار بالا با واکنش (۴) و در نمونه‌های فشار پائین با واکنش (۵) کنترل می‌شود:

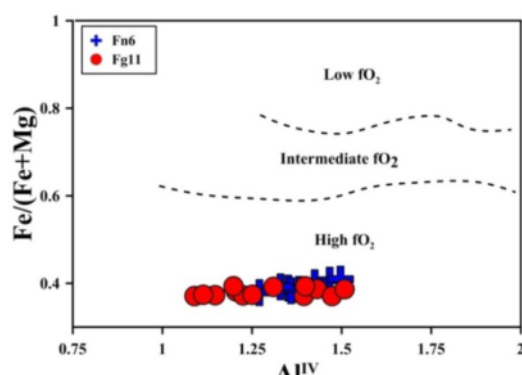


برای تعیین عمق مخزن مagmaی از Al موجود در ساختار پیروکسن‌ها استفاده شد. برخی پژوهشگران تأکید کردند که توزیع آلومینیوم در جایگاه‌های چاروچهی و هشت‌وجهی کلینوپیروکسن‌ها معیار مناسبی برای برآورد مقدار آب magma و فشار حاکم بر محیط تشکیل سنگ‌های آذرین است (برای مثال، [۴۲]). با این مدل، فشار ۵ کیلوبار و مقدار آب تقریباً ۱۰ درصد برای تبلور کلینوپیروکسن از magma‌های توده‌های دیوریتی-گابرو‌دیوریتی منطقه به دست آمد (شکل ۱۱ ب). همچنین به منظور تعیین فشار از نمودار XPT نسبت به YPT [۴۳] نیز استفاده شد (شکل ۱۲). در این نمودار که فشار به صورت ترسیمی نمایش داده شده است، محورهای X و Y بر اساس دو

شاخص XPT و YPT تعریف شده‌اند:



با توجه به شکل ۱۲، فشار تبلور پیروکسن در نمونه‌های مورد بررسی حدود ۲-۵ کیلوبار برآورد شد.



شکل ۱۰ جایگاه آمفیبول‌های سنگ‌های دیوریتی کرتاسه پسین جنوب‌غرب سبزوار در نمودار  $\text{Fe}/(\text{Fe}+\text{Mg})$  برای تعیین میزان گریزندگی اکسیژن [۳۷].

تعیین گریزندگی اکسیژن در محیط تشکیل آمفیبول‌ها یکی از روش‌های محاسبه مقدار گریزندگی اکسیژن در سنگ‌های نفوذی بررسی ترکیب آمفیبول‌هایی است که از نظر شیمیایی دارای  $\text{Al}^{\text{IV}} > 0.75$  و  $\text{Fe}^*/(\text{Fe}^*+\text{Mg}) < 0.3$  هستند [۳۷]. این شرایط برای آمفیبول‌های سنگ‌های منطقه صادق است. بررسی‌ها نشانگر تشکیل آمفیبول‌های سنگ‌های منطقه در شرایط گریزندگی اکسیژن بالاست (شکل ۱۰). تغییر ترکیب آمفیبول‌ها ناشی از تغییر در گریزندگی اکسیژن و فعالیت سیلیسیک مagmaست. در واقع، هرچه گریزندگی اکسیژن کمتر باشد،  $\text{Fe}^{2+}$  می‌تواند به مقدار بیشتری در شبکه‌ی آمفیبول جایگزین شود. بالا بودن نسبت  $\text{Fe}^{3+}/\text{Fe}^{2+}$  باعث جانشینی بیشتر Mg به وسیله Al می‌شود [۳۴]. این ادعا با محاسبه مقدار گریزندگی اکسیژن از رابطه‌ی زیر [۴۰] تأیید می‌شود:

$$\text{Log } f_{\text{O}_2} = -30930/T + 14.98 + 0.142 (\text{P}-1)/T \quad (3)$$

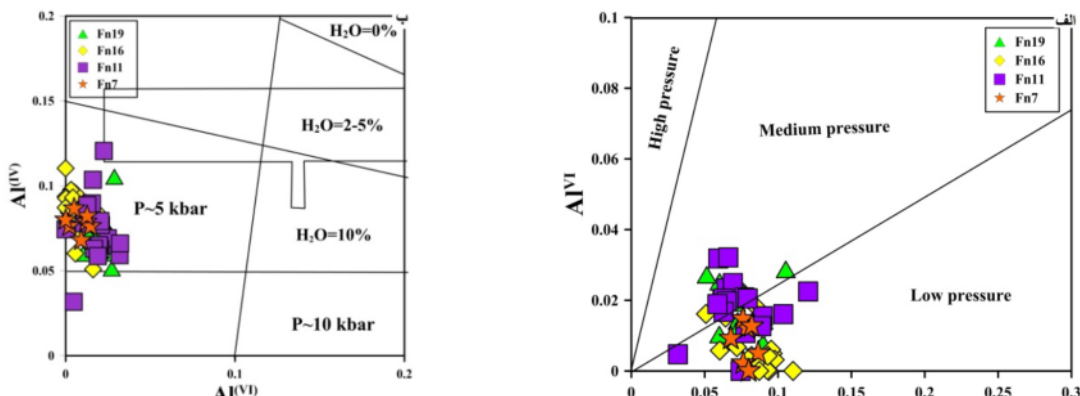
براساس این رابطه، مقدار میانگین  $\text{Log } f_{\text{O}_2}$  در زمان تشکیل سنگ برابر با  $-19/4$  بوده است (جدول ۴). گریزندگی بالای اکسیژن نشانگر تشکیل این توده‌ها در جایگاه مرزهای ورقایی همگرایست [۳۷].

### فشارسنگی کلینوپیروکسن

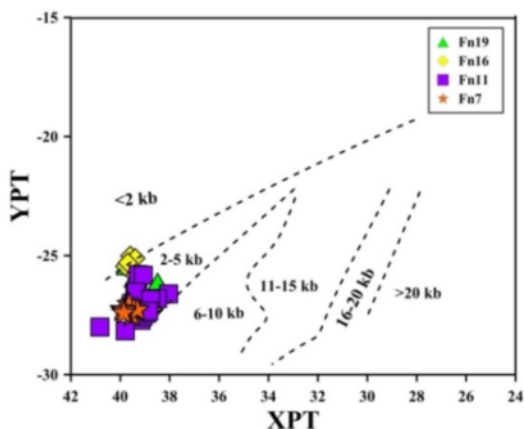
در برخی از پژوهشگران (برای مثال، [۴۱]) نسبت‌های  $\text{TiO}_2/(\text{Mg}/\text{Mg}+\text{Fe})$  و  $\text{Al}^{\text{VI}}/\text{Al}^{\text{IV}}$  در پیروکسن‌ها به عنوان فشارسنگ به کار رفته‌اند. در نمودار  $\text{Al}^{\text{VI}}$  نسبت به  $\text{Al}^{\text{IV}}$ ، نمونه‌های دیوریتی-گابرو‌دیوریتی منطقه در گستره‌ی با فشار پائین تا متوسط یعنی در گستره سنگ‌های آذرین نفوذی قرار می‌گیرند (شکل ۱۱ الف). به طور کلی،

جدول ۴ مقادیر میانگین محاسبه‌ی شده  $\text{Log}f_{\text{O}_2}$  در توده‌های گابرودیوریتی کرتاسه پسین جنوب‌غرب سبزوار.

نمونه	$\text{Log}f_{\text{O}_2}$	نمونه	$\text{Log}f_{\text{O}_2}$
Fn6-1	-18.91	Fg11-2	-20.7



شکل ۱۱ جایگاه کلینوپیروکسن‌های موجود در سنگ‌های دیوریتی کرتاسه پسین جنوب‌غرب سبزوار در (الف) نمودار  $\text{Al}^{\text{IV}}/\text{Al}^{\text{VI}}$  نسبت به  $\text{Al}^{\text{IV}}$  [۴۱] و (ب) نمودار  $\text{Al}^{\text{VI}}/\text{Al}^{\text{IV}}$  نسبت به  $\text{Al}^{\text{IV}}$  برای تعیین مقادیر فشار و آب مagma [۲۸].



شکل ۱۲ جایگاه کلینوپیروکسن‌های موجود در سنگ‌های دیوریتی کرتاسه پسین جنوب‌غرب سبزوار در نمودار XPT نسبت به YPT [۴۳].

منطقه حدود ۱۱۵۰ - ۱۱۰۰ درجه‌ی سانتیگراد به دست آمد.

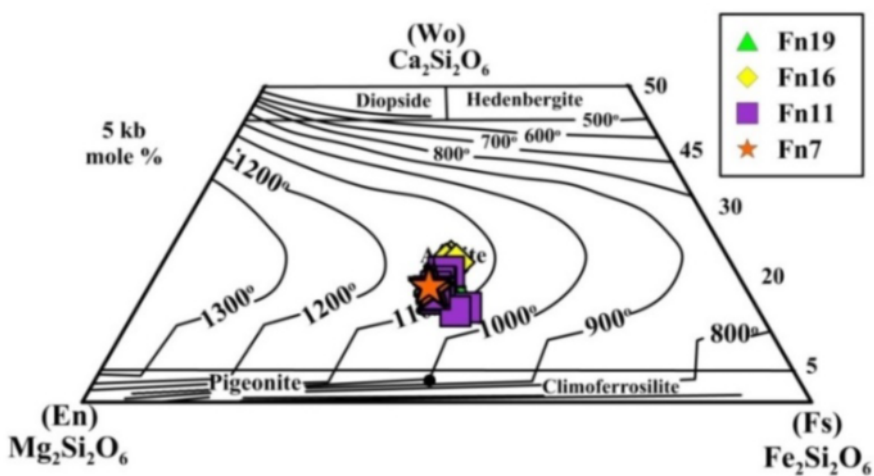
دماستجی براساس رابطه پیشنهادی برترند و همکارش [۴۵] براساس رابطه زیر انجام شد:

$$\text{T}^{\text{Cpx}} = (33696 + 45.45P)/(17.61 - 8.314\ln[(1 - \text{X}_{\text{Ca}}^{\text{M2}})/0.95] - 12.13[\text{X}_{\text{Ca}}^{\text{M2}}]^2) \quad (8)$$

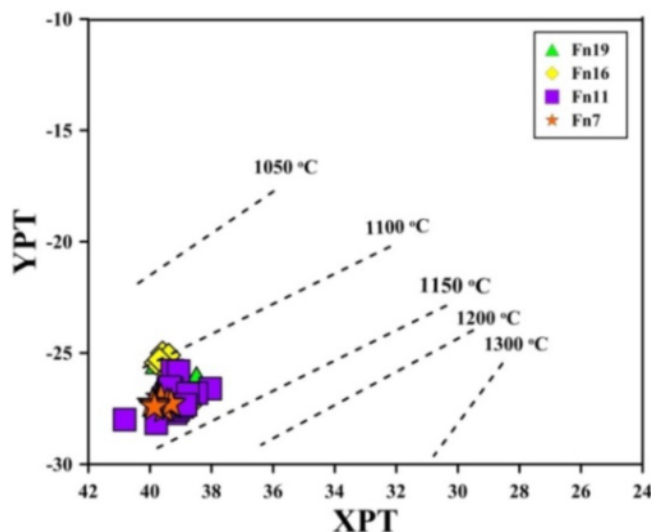
در این رابطه،  $\text{X}_{\text{Ca}}^{\text{M2}}$  مقدار Ca در جایگاه M2 فرمول شیمیایی پیروکسن‌هاست. با استفاده از این رابطه و میانگین فشار تشکیل پیروکسن بر حسب کیلوبار، دمای حدود ۱۱۰۰ درجه‌ی سانتیگراد برای تبلور کلینوپیروکسن‌های موجود در نمونه‌های دیوریتی-گابرودیوریتی کرتاسه پسین جنوب‌غرب سبزوار به دست آمد.

#### دماستجی کلینوپیروکسن

برای تعیین دمای تشکیل کلینوپیروکسن‌های توده‌های دیوریتی-گابرودیوریتی کرتاسه پسین جنوب‌غرب سبزوار، از دماستج تک کلینوپیروکسن [۴۴] استفاده شد (شکل ۱۳). به این ترتیب، دمای تبلور کلینوپیروکسن‌ها حدود ۱۱۰۰ درجه‌ی سانتیگراد به دست آمد. از این نمودار برای پیروکسنی می‌توان استفاده کرد که مجموع  $\text{Wo}+\text{En}+\text{Fs}$  آن بیش از ۹۰ درصد باشد که در مورد کلینوپیروکسن‌های منطقه مورد بررسی صادق است. همچنین به منظور تعیین دما از نمودار XPT نسبت به YPT [۴۵] نیز استفاده شد (شکل ۱۴) و دمای تشکیل کلینوپیروکسن‌ها در دیوریت‌ها-گابرودیوریت‌های



شکل ۱۳ جایگاه کلینوپیروکسن‌های موجود در سنگ‌های گابرودیوریتی کرتاسه پسین جنوب‌غرب سبزوار در نمودار مثلثی Wo+En+Fs [۴۴].



شکل ۱۴ جایگاه کلینوپیروکسن‌های موجود در سنگ‌های گابرودیوریتی کرتاسه پسین جنوب‌غرب سبزوار در نمودار XPT-YPT نسبت به YPT [۴۵].

کمانی تشکیل شده است. دماها و فشارهای بسته شدن و برقراری تعادل در آمفیبولها و پلاژیوکلازها بر اساس روش‌های مختلف دما- فشارسنجی بین ۹۱۸ تا ۷۶۳ درجه سانتی‌گراد و ۳ تا ۵،۵ کیلوبار (برابر با فشار عمق‌های ۱۰-۱۸ کیلومتری) به دست آمده است. پیروکسن‌ها از یک مagma اولیه در محیطی با گریزندگی اکسیژن بالا در فشارهای ۲-۵ کیلوبار بار در دماهای ۱۱۵۰-۱۰۰۰ درجه سانتی‌گراد متبلور شده‌اند. اگرچه کانی‌های سازنده سنگ‌ها در عمق‌های متوسط پوسته متبلور شده‌اند اما جایگزینی نهایی magma در اعمق کم و به شکل دایک، سیل و توده‌های نفوذی کوچک بوده است.

#### برداشت

توده‌های نفوذی با ترکیب حدوداً جنوب غرب سبزوار به سن کرتاسه پسین که برای نخستین بار در این پژوهش بررسی شدند، دارای ترکیب کلی دیوریتی و ویژگی‌های گرانیت‌وئیدی-های با خاستگاه آذرین (I) هستند. این توده‌ها به شکل دایک، سیل و استوک‌های کوچک در توالی آتشفسانی-رسوبی کرتاسه پسین تزریق شده و بیشتر از آمفیبول، پلاژیوکلاز و پیروکسن تشکیل شده‌اند. بررسی نتایج تجزیه شیمی کانی این توده‌ها نشان می‌دهد که magma مادر سازنده آن‌ها با سرشت آهکی-قلیایی، در جریان فرورانش درون اقیانوسی ورقه اقیانوسی نئوتیس سبزوار در زمان کرتاسه پایانی در یک محیط جزیره

## قدرتانی

این پژوهش با حمایت مالی و معنوی حوزه معاونت پژوهشی دانشگاه صنعتی شهرورد صورت گرفته است که از آنان قدردانی می‌شود.

## مراجع

- Iran: A model for formation of podiform chromitites. Gondwana Research", (2015) 65–66.*
- [9] Shojaat B., Hassanipak A. A., Mobasher K., Ghazi A. M., "Petrology, geochemistry and tectonics of the Sabzevar ophiolite, North Central Iran", Journal of Asian Earth Sciences 21 (2003) 1053-1067.
- [10] Spies O., Lensch G., Mihm A., "Geochemistry of the post-ophiolitic tertiary volcanics between Sabzevar and Quchan (NW Iran). Geodynamic project (Geotraverse) in Iran", GSI, Rep No. 51 . (1983).
- [11] Vaziri-Tabar F., "Geologie und petrographie der ophiolithe und ihrer vulcanosedimentaren Folgeprodukte im ostteil des Bergzugs nordlich Sabzevar Khorasan (Iran)", PhD thesis University of Saarbrucken, German (1976).
- [12] Maghfouri S., Rastad I., Mousivand F., "The ore facies of sulfide deposit of Nodeh copper, southwest of Sabzevar", The 15th Iranian Geological Society. Tarbiat Moallem University, Tehran (2016).
- [13] Maghfouri S., "Geology, Mineralogy, Geochemistry and Genesis of Cu Mineralization within Late Cretaceous Volcano-Sedimentary Sequence in Southwest of Sabzevar, with emphasis on the Nodeh Deposit", MSc thesis, Tarbiat Modares University, Tehran, Iran (2012).
- [14] Taghizadeh S., "Mineralogy, geochemistry and genesis of the Zakeri Mn deposit, southwest of Sabzevar", MSc thesis, Faculty of Earth Sciences, Shahrood University of Technology, Shahrood, Semnan, Iran (2014).
- [15] Nasrollahi A., "Mineralogy, geochemistry and genesis of manganese mineralization in Cretaceous volcano-sedimentary sequence in the southwest Sabzevar, with an emphasis on Nodeh manganese deposit", MSc thesis, Faculty of Earth Sciences, Shahrood University of Technology, Shahrood, Semnan, Iran (2014).
- [16] Tashi M., Mossivand F., Ghasemi H., "Volcanogenic massive sulfide Cu-Ag mineralization in the Kharturan area, southeast of Shahrood", In: International Workshop on IWTOMA 2014, October12-16, Wuhan, China(2014) .
- [17] Tashi M., Mousivand F., Ghasemi H., "The pattern occurrence of natural copper
- [1] Alavi – Tehrani N., "Geology and petrography in the ophiolite range NW of Sabzevar (Khorasan/Iran)", PhD thesis, The University of Saarbrucken, Germany (1976).
- [2] Bauman A., Spies O., Lensch G., "Strontium isotopic composition of post-ophiolithic tertiary volcanics between kashmar, sabzevar and Quchan NE Iran Geodynamic project (geotraverse) in Iran", Final report Geology Survey of Iran Report no (1983) 51.
- [3] Khalatbari M., Babaie H., Gani M., "Geochemical evidence for Late Cretaceous marginal arc-to-backarc transition in the Sabzevar ophiolitic extrusive sequence, northeast Iran", Journal of Asian Earth Sciences 70–71 (2013) 209–230.
- [4] Lindenberg H.G., Gorler K., Ibbeken H., "Stratigraphy, structur and orogenetic evolution of the Sabzevar zone the area of Oryan Khorasan, NE Iran", GSI, Rep. NO. 51 (1983) 120-142.
- [5] Noghreyan M. K., "Evolution geochimique, mineralogique et structurale d'une edifice ophiolitique singulier: le massif de Sabzevar (partie central), NE de Iran", PhD theses, University de Nancy, France (1982) .
- [6] Pilger A., "Die zeitlich-tektonische Entwicklung der iranischen Gebirge", Clausthaler Geol Abh 8 (1971) 1–27.
- [7] Rossetti F., Nasrabad M., Vignaroli G., Theye T., Gerdes A., Razavi M., Moin Vazir H., "Early Cretaceous migmatitic mafic granulites from the Sabzevar range (NE Iran): implications for the closure of the Mesozoic peri -Tethyan oceans in central Iran", Terra Nova 22 (2010) 26-34.
- [8] Shafaii H., Kheder M., Arai Sh., Stern R., Ghorbani Gh., Tamura A., Ottley CH., "Arc-related harzburgite-dunite –chromitite complexes in the mantle section of the Sabzevar ophiolite,

- "Nomenclature of amphiboles, additions and revisions to the international mineralogical association's amphibole nomenclature", American Mineralogist 89 (1997) 883-887.
- [26] Chappell B. W., White A. J. R, "Two contrasting granite types", 25 years later, Australian Journal of Earth Science 48 (2001) 489–499.
- [27] Leake B. E., "On aluminous and edenitic hornblendes", Mineralogical Magazine 3. (1971) 8-389
- [28] Coltorti M., Bonadiman C., Faccini B., Grégoire M., O'Reilly S. Y., Powell W., "Amphiboles from suprasubduction and intraplate lithospheric mantle", Lithos 99. (2007) 68-84.
- [29] Molina J., Scarrow J., Montero P. G., Bea, F., "High-Ti amphibole as a petrogenetic indicator of magma chemistry: evidence for mildly alkalic-hybrid melts during evolution of Variscan basic-ultrabasic magmatism of Central Iberia", Contribution to Mineralogy and Petrology 158 (2009) 69-98.
- [30] Morimoto N., "Nomenclature of pyroxenes", Fortschr mineral 66 (1988) 237-252.
- [31] Schweitzer E. L., Papike J. J., Bence A. E., "Statistical analysis of clinopyroxenes from deep-sea basalts American Mineralogist", 64 (1979) 501-513.
- [32] Cameron M., Papike, J. J., "Structural and chemical variations. American Mineralogist 66 (1981) 1-50.
- [33] Deer W.A., Howie A., Zussman J., "An interdiction to the rock – formingminerals", 17th ed., (1986 ) Longman Ltd, 528P.
- [34] Stein E., Dietl C., "Hornblende thermobarometry of granitoids from the central Odenwald (Germany) and their implications for the geotectonic", development of the Odenwald. Mineralogy and Petrology 72. (2001) 185-207.
- [35] Hollister L.S., Grissom G.e., Peters E.K., Stowell H.H., Sisson V.R., "Confirmation of the empirical Correlation of Al in hornblende With Pressure of solidification of CalcalkalinePhutons", American Mineralogist 72., (1987) 231-239.
- [36].Hammarstrom J.M., Zen E., "Aluminum in hornblende: An empirical igneous mineralization in volcanic rocks host copper-silver volcanogenic massive sulfide deposit, Southeast Shahrood", Iranian Journal of Geology 10(40) (2016) 89-105 (in Persian).
- [18] Tashi M., Mousivand F., Ghasemi H., "Cu-Ag Besshi type volcanogenic massive sulfide mineralization in the Late Cretaceous volcano-sedimentary sequence: the case of Garmabe Paein deposit . southeast of Shahrood", Journal of Economic Geology 9(1) (2017) 213-233 (in Persian).
- [19] Maghfouri S., Rastad E., Mousivand F., Lin Y., Zaw K., "Geology, ore facies and sulfur isotopes geochemistry of the Nudeh Besshi-type volcanogenic massive sulfide deposit, southwest Sabzevar basin, Iran", Journal of Asian Earth Sciences 125 (2016) 1-21.
- [20] Hedayati Kharagh S.N. "Petrology and Geochemistry of Goft Granitoidic Pluton, Southwest of Sabzevar", M.Sc. thesis, Faculty of Earth Sciences, Shahrood University of Technology, Shahrood, Semnan, Iran (2017).
- [21] Kazemi Z., "Petrology, Geochemistry and tectonic model of Late Cretaceous magmatism in northern edge of the central Iran zone (Southwest of Sabzevar)", Phd. thesis, Faculty of Earth Sciences, Shahrood University of Technology, Shahrood, Semnan, Iran (2018).
- [22] Ghasemi H., Kazemi Z., Mousivand F., Griffin W., "Whole-rock geochemistry and mineral chemistry of the Late Cretaceous dacites in SW Sabzevar: constrain on their origin and tectonic setting", Petrology, 9(35) (2018): 79-100.
- [23] Holland T., Blundy J., "Non-ideal interactions in calcic amphiboles and their bearing on amphibole – plagioclase thermometry", Contributions to Mineralogy and Petrology 116 (1994) 433–447.
- [24] Vyhenal C. R., Mc Sween H. Y., Speer J. A., "Hornblende chemistry in southern Appalachian granitoids: implications for aluminum hornblende thermobarometry and magmatic epidote stability", American Mineralogist 76 (1991) 176-188.
- [25] Leake B. E., Woolley A. R., Birch W. D., Burke E. A. J., Feraris G., Grice J. D., Hawthorne F. C., Kisch H. J., Krivovichev V. G., Schumacher J. C., Stephenson N. C. N., Whittaker E. J. W,

- [41] Wass S. Y., "Multiple origins of clinopyroxenes in alkali basaltic rocks", *Lithos* 12 (1979) 115-132.
- [42] Helz R. T., "Phase relations of basalts in their melting range at  $\text{PH}_2\text{O} = 5 \text{ kb}$  as a function of oxygen fugacity", *Journal of Petrology* 17 (1973) 139-193.
- [43] Soesoo A., "A multivariate statistical analysis of clinopyroxene composition: empirical coordinates for the crystallisation P-T estimations", *Geological Society of Sweden (Geologiska Foreningen)* 119 (1997) 55-60.
- [44] Lindsley D.H., "Pyroxene thermometry" , *American Mineralogist*, 68 (1983) 477-493.
- [45] Bertrand P., Mercier J. C., "The mutual solubility of coexisting ortho- and clinopyroxene: toward an absolute geothermometer for natural system?". *Earth and Planetary Science Letters* 76 (1985) 109-122.
- geobarometer" American Mineralogist* 71 (1986) 1297-1313.
- [37] Anderson J. L., Smith D. R., "The effect of temperature and oxygen fugacity on Al-in-hornblende barometry", *American Mineralogist* 80 (1995) 549-559
- [38] Schmidt M. W., "Amphibole composition in tonalite as a function of pressure: an experimental calibration of Al- in- hornblende barometer", *Contributions to Mineralogy and Petrology* 110 (1992) 304-310 .
- [39] Hynes A , "A comparison of amphiboles from medium and low pressure metabasites", *Contributions of Mineralogy and Petrology* 81. (1982) 119-125.
- [40] Wones D. R., "Significance of assemblage titanite +magnetite +quartz in granitic rocks", *American Mineralogist* 74 (1989) 744-749 .